

Pushing/Blocking TASEP と 非可換シューア作用素

岩尾慎介

慶應義塾大学

2023/10/12

研究集会「非線形波動から可積分系へ 2023」/富山県立大学

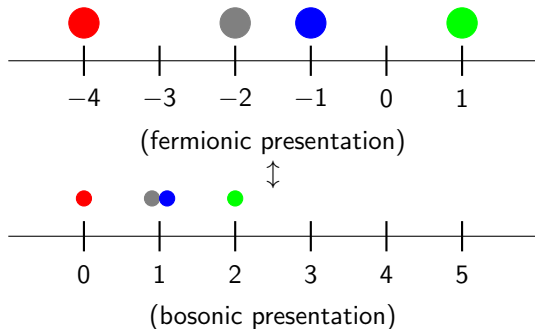
(Based on a joint work with K.Motegi and T.Scrimshaw)

Dieker-Warren [1] の discrete TASEP.



- 各サイトは、粒子が存在するかないかの2状態をとる。
- 時間発展 ($t \mapsto t + 1$) 時、各粒子は一定の確率・規則 (後述) で右に進むか、どの程度進むかを決定する。

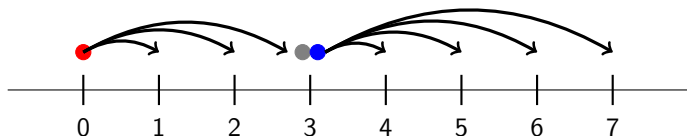
Bosonic presentation



場所 τ_i に第 i 粒子がある (fermion) \leftrightarrow 場所 $\tau_i + i$ に第 i 粒子がある (boson)

幾何分布による時間発展規則 (プロトタイプ)

$t \in \mathbb{Z}$ について、 $0 < x_t < 1$ とする。



- 一番右の粒子を第 1 粒子といい、左に向かって第 2 粒子, 第 3 粒子, ... と呼ぶ。
- 時間発展 ($t \mapsto t + 1$) 時、以下の確率分布に従い非負整数 $w_{i,t} \geq 0$ を決める。

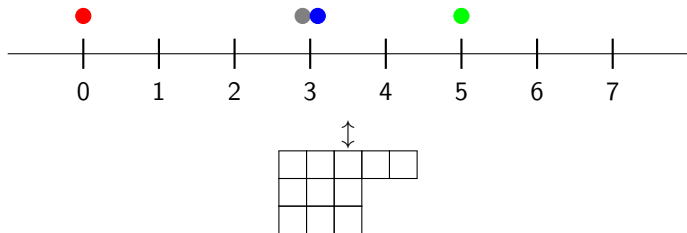
$$P(w_{i,t} = k) = A_t x_t^k, \quad (A_t = 1 - x_t).$$

- 左の粒子から順番に、各粒子を $w_{i,t}$ サイト右に動かす。

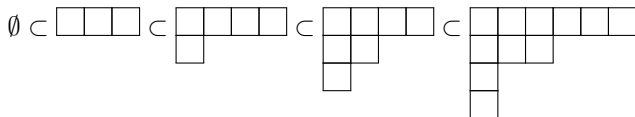
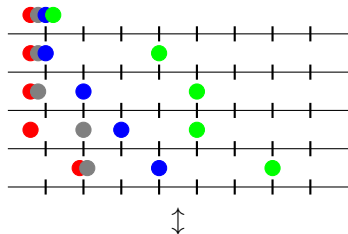
問題 (プロトタイプ)

粒子たちの追い抜きが発生しなかったときの、各状態の発生する条件付き確率。

ヤング図形との対応



ヤング図形の成長



各成長の差分は**水平帯** (horizontal strip, 1つの列に2つ以上の箱が同時に追加されることはない).

シューア作用素

\mathcal{P} をヤング図形のなす集合とする。

$$\mathbb{R}[\mathcal{P}] := \bigoplus_{\lambda \in \mathcal{P}} \mathbb{R} \cdot \lambda.$$

\mathbb{R} 線形作用素 $u_i : \mathbb{R}[\mathcal{P}] \rightarrow \mathbb{R}[\mathcal{P}]$ を、

$$\lambda \mapsto \begin{cases} \lambda \cup \{ \text{第 } i \text{ 行目の箱} \} & (\lambda \text{ の第 } i \text{ 行に箱を 1 つ追加可能}) \\ 0 & (\text{そうでないとき}) \end{cases}$$

で定義する。

シューア作用素

Example

$$u_1 \cdot \begin{array}{|c|c|c|c|} \hline \square & \square & \square & \square \\ \hline \square & \square & \square & \square \\ \hline \square & & & \\ \hline \end{array} = \begin{array}{|c|c|c|c|c|} \hline \square & \square & \square & \square & \square \\ \hline \square & \square & \square & \square & \\ \hline \square & & & & \\ \hline \end{array}, \quad u_2 \cdot \begin{array}{|c|c|c|c|} \hline \square & \square & \square & \square \\ \hline \square & \square & \square & \square \\ \hline \square & & & \\ \hline \end{array} = 0, \quad u_3 \cdot \begin{array}{|c|c|c|c|} \hline \square & \square & \square & \square \\ \hline \square & \square & \square & \square \\ \hline \square & & & \\ \hline \end{array} = \begin{array}{|c|c|c|} \hline \square & \square & \square \\ \hline \square & \square & \square \\ \hline \square & & \\ \hline \end{array}$$

Example

$$u_1 \cdot \emptyset = \square, \quad u_i \cdot \emptyset = 0 \quad (i > 1).$$

\emptyset は空のヤング図形をあらわす。(\emptyset と 0 は異なる。)

作用素 $\mathcal{H}(x)$

$i \in \mathbb{Z}_{>0}$, $t \in \mathbb{Z}$ に対して

$$\mathcal{H}_i(x_t) = 1 + x_t u_i + x_t^2 u_i^2 + \cdots = \frac{1}{1 - x_t u_i}$$

とおく。

Example

$$\mathcal{H}_2(x_t) \cdot \begin{array}{|c|c|c|} \hline \square & \square & \square \\ \hline \square & & \\ \hline \square & & \\ \hline \end{array} = \begin{array}{|c|c|c|} \hline \square & \square & \square \\ \hline \square & & \\ \hline \square & & \\ \hline \end{array} + x_t \cdot \begin{array}{|c|c|c|} \hline \square & \square & \square \\ \hline \square & \square & \\ \hline \square & & \\ \hline \end{array} + x_t^2 \cdot \begin{array}{|c|c|c|} \hline \square & \square & \square \\ \hline \square & \square & \square \\ \hline \square & & \\ \hline \end{array}$$
$$\propto \sum_{\lambda} (\text{第 2 粒子を動かすときの遷移確率}) \cdot \lambda$$

幾何分布による時間発展

$$\mathcal{H}(x_t) := \mathcal{H}_1(x_t)\mathcal{H}_2(x_t)\mathcal{H}_3(x_t)\cdots$$

とおく。

粒子状態の時間発展 (=ヤング図形の成長)

$$Y_0 \subset Y_1 \subset Y_2 \subset \dots$$

について、以下が成り立つ。

Proposition

λ をヤング図形とする。 x_t のみに依存する正規化定数 A_t が存在して、

$$\mathcal{H}(x_t) \cdot \lambda = A_t \sum_{\mu} P(Y_{t+1} = \mu \mid Y_t = \lambda \wedge (\text{粒子の追い抜きがない})) \cdot \mu$$

が成り立つ。

幾何分布による時間発展

初期状態を \emptyset とするとき、

$$\begin{aligned} & \mathcal{H}(x_T) \cdots \mathcal{H}(x_2) \mathcal{H}(x_1) \cdot \emptyset \\ &= A_1 A_2 \cdots A_t \sum_{\lambda} P(Y_T = \lambda \mid Y_0 = \emptyset \wedge (\text{追い抜きがない})) \cdot \lambda. \end{aligned} \quad (1)$$

Theorem

$s_{\lambda}(x_1, \dots, x_n)$ をヤング図形 λ に対応するシュア関数とすると、

$$\mathcal{H}(x_T) \cdots \mathcal{H}(x_2) \mathcal{H}(x_1) \cdot \emptyset = \sum_{\lambda} s_{\lambda}(x_1, \dots, x_T) \cdot \lambda$$

が成り立つ。

係数比較により

$$P(Y_T = \lambda \mid Y_0 = \emptyset \wedge (\text{追い抜きがない})) = \frac{s_\lambda(x_1, \dots, x_T)}{A_1 A_2 \cdots A_T}. \quad (2)$$

ただし、 $A_i = 1 - x_i$.

シューア関数はよく知られている

Theorem (ヤコビ・トゥルーディー公式 (cf.[5]))

$$s_\lambda(x_1, \dots, x_T) = \det(h_{\lambda_i - i + j}(x_1, \dots, x_T))_{1 \leq i, j \leq \ell(\lambda)}.$$

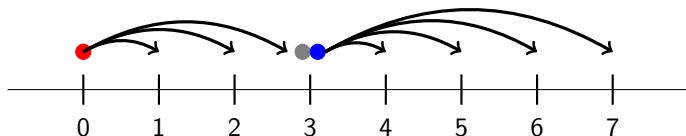
ただし $h_k(x_1, \dots, x_T)$ は k 次完全対称多項式。

Corollary

$$P(Y_T = \lambda \mid Y_0 = \emptyset \wedge (\text{追い抜きがない})) = \frac{\det(h_{\lambda_i - i + j}(x_1, \dots, x_T))_{1 \leq i, j \leq \ell(\lambda)}}{A_1 A_2 \cdots A_T}.$$

Pushing TASEP (Dieker-Warren)

$t \in \mathbb{Z}$ について、 $0 < x_t < 1$ とする。

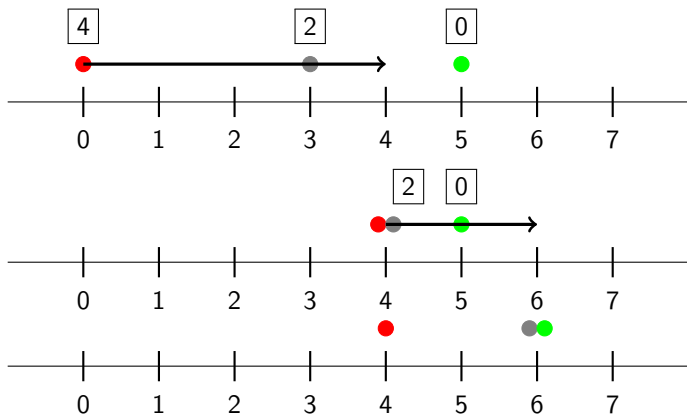


- 一番右の粒子を第 1 粒子といい、左に向かって第 2 粒子, 第 3 粒子, ... と呼ぶ。
- 時間発展 ($t \mapsto t + 1$) 時、以下の確率分布に従い非負整数 $w_{i,t} \geq 0$ を決める。

$$P(w_{i,t} = k) = A_t x_t^k, \quad (A_t = 1 + x_t).$$

- 左の粒子から順番に、各粒子を $w_{i,t}$ サイト右に動かす。
- 移動中に他の粒子にぶつかった場合、その粒子ごと押し進む (Pushing)。

例



Dieker-Warren [1] は、RSK 全単射 (粒子の配置をコード化してヤング盤のペアに対応させる全単射) を用いて Pushing TASEP, Blocking TASEP の遷移確率を、ある行列の行列式としてあらわした。

一方、岩尾は論文 [2, 3] にて、**グロタンディーク多項式・双対グロタンディーク多項式** (シューア関数の K -理論版) のフェルミオン期待値表示をあたえる結果の中で、「 K -理論的シューア作用素」を導出した。

→茂木・Scrimshaw 両氏により、Dieker-Warren の TASEP との関係が指摘された (I-Motegi-Scrimshaw [4])。

K 理論的シューア作用素

K-理論的シューア作用素 $u_i : \mathbb{R}[\mathcal{P}] \rightarrow \mathbb{R}[\mathcal{P}]$ を以下のように定義する。

任意の非負整数列 $n = (n_1, n_2, \dots, n_\ell)$ に対して、ヤング図形

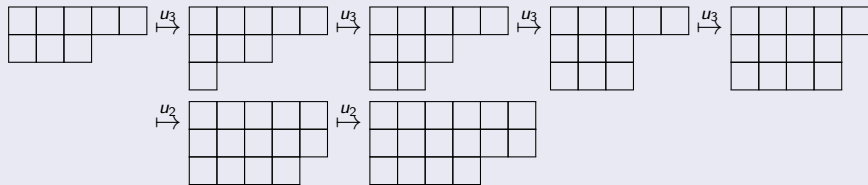
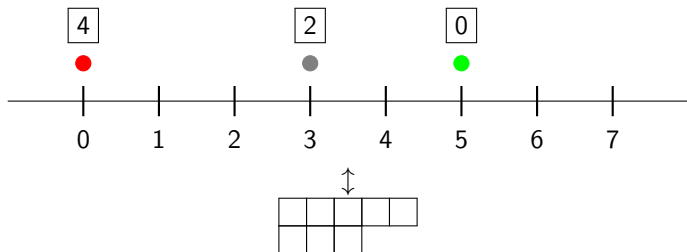
$$\lambda = (\lambda_1, \dots, \lambda_\ell), \quad \lambda_i = \min[n_i, n_{i+1}, \dots, n_\ell]$$

を n を含む最小のヤング図形といい、 \bar{n} と書く。

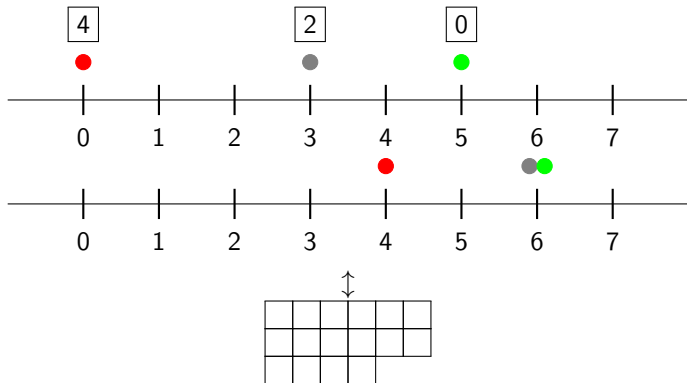
Definition (K 理論的シューア作用素 [3])

$$u_i \cdot \lambda = \overline{\lambda \cup \{ \text{第 } i \text{ 行目の箱} \}}$$

例



例



作用素 $\mathcal{H}(x)$

u_i を K -理論的シューア作用素に置き換えて、先ほどと同様のことを行う。

$i \in \mathbb{Z}_{>0}$, $t \in \mathbb{Z}$ に対して

$$\mathcal{H}_i(x_t) = 1 + x_t u_i + x_t^2 u_i^2 + \dots = \frac{1}{1 - x_t u_i}$$

とおく。

$$\mathcal{H}(x_t) := \mathcal{H}_1(x_t) \mathcal{H}_2(x_t) \mathcal{H}_3(x_t) \dots$$

とおく。

Pushing TASEP の粒子状態の時間発展 (=ヤング図形の成長)

$$Y_0 \subset Y_1 \subset Y_2 \subset \dots$$

について、以下が成り立つ。

Proposition

λ をヤング図形とする。 x_t のみに依存する正規化定数 A_t が存在して、

$$\mathcal{H}(x_t) \cdot \lambda = A_t \sum_{\mu} P(Y_{t+1} = \mu \mid Y_t = \lambda) \cdot \mu.$$

幾何分布による時間発展

初期状態を \emptyset とするとき、

$$\begin{aligned} & \mathcal{H}(x_T) \cdots \mathcal{H}(x_2) \mathcal{H}(x_1) \cdot \emptyset \\ &= A_1 A_2 \cdots A_t \sum_{\lambda} P(Y_T = \lambda \mid Y_0 = \emptyset) \cdot \lambda. \end{aligned} \tag{3}$$

Theorem

$g_{\lambda}(x_1, \dots, x_n)$ をヤング図形 λ に対応する**双対グロタンディーク多項式**とするととき、

$$\mathcal{H}(x_T) \cdots \mathcal{H}(x_2) \mathcal{H}(x_1) \cdot \emptyset = \sum_{\lambda} g_{\lambda}(x_1, \dots, x_T) \cdot \lambda$$

が成り立つ。

係数比較により

$$P(Y_T = \lambda \mid Y_0 = \emptyset) = \frac{g_\lambda(x_1, \dots, x_T)}{A_1 A_2 \cdots A_T}. \quad (4)$$

ただし、 $A_j = 1 - x_j$.

シューア関数はよく知られている

Theorem (ヤコビ・トゥルーディー公式 (Shimozono-Zabrocki [6], Yeliussizov [7], I [2]))

$$g_{\lambda}(x_1, \dots, x_T) = \det \left(\sum_{m=0}^{\infty} \binom{1-i}{m} (-1)^m h_{\lambda_i - i + j - m}(x_1, \dots, x_T) \right)_{1 \leq i, j \leq \ell(\lambda)} .$$

ただし $h_k(x_1, \dots, x_T)$ は k 次完全対称多項式。

Corollary

$$P(Y_T = \lambda \mid Y_0 = \emptyset) = \frac{\det \left(\sum_{m=0}^{\infty} \binom{1-i}{m} (-1)^m h_{\lambda_i - i + j - m}(x_1, \dots, x_T) \right)_{1 \leq i, j \leq \ell(\lambda)}}{A_1 A_2 \cdots A_T} .$$

拡張 (I-Motegi-Scrimshaw, [in preparation])

- 1 Blocking TASEP
- 2 ベルヌーイ分布
- 3 より一般的な非可換シューア作用素・対称多項式と、それに応じた TASEP (粒子ごとの遷移確率や、サイトごとの遷移確率を変化させる)

指導原理

$\mathbb{R}[\mathcal{P}]$ に作用する \mathbb{R} 線形作用素の組 u_1, u_2, \dots で、以下の Knuth relation を満たすものがあれば、似たようなことができるだろう。

$$u_j u_i u_k = u_j u_k u_i, \quad (i \geq j > k, i - k \geq 2),$$

$$u_i u_k u_j = u_k u_i u_j, \quad (i > j \geq k, i - k \geq 2),$$

$$(u_i + u_{i+1}) u_{i+1} u_i = u_{i+1} u_i (u_i + u_{i+1})$$

Reference I

- [1] A. B. Dieker and Jonathan Warren, *Determinantal transition kernels for some interacting particles on the line*, Annales de l'I.H.P. Probabilités et statistiques **44** (2008), no. 6, 1162–1172 (en). MR 2469339
- [2] Shinsuke Iwao, *Grothendieck polynomials and the boson-fermion correspondence*, Algebraic Combinatorics **3** (2020), no. 5, 1023–1040.
- [3] ———, *Free-fermions and skew stable Grothendieck polynomials*, Journal of Algebraic Combinatorics **56** (2022), no. 2, 493–526.
- [4] Shinsuke Iwao, Kohei Motegi, and Travis Scrimshaw, *Free-fermions and canonical Grothendieck polynomials*, arXiv preprint arXiv:2211.05002 (Accepted to Algebraic Combinatorics).
- [5] Ian G Macdonald, *Symmetric functions and Hall polynomials*, Oxford university press, 1998.
- [6] Mark Shimozono and Mike Zabrocki, *Stable Grothendieck polynomials and Ω -calculus (unpublished)*, (2011).

- [7] Damir Yeliussizov, *Duality and deformations of stable Grothendieck polynomials*, *Journal of Algebraic Combinatorics* **45** (2017), no. 1, 295–344.